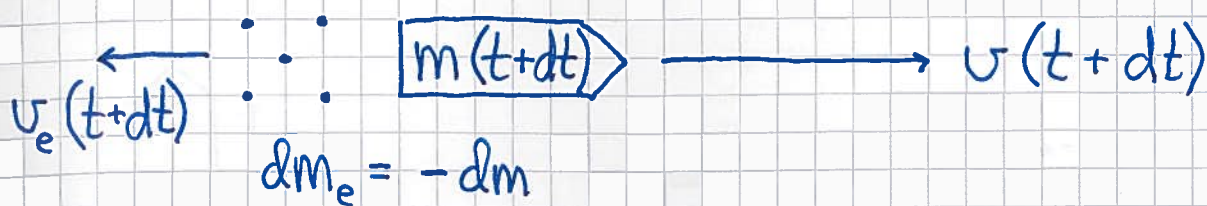


Impulsbevarelse fra  $t$  til  $t+dt$ :

(44)



Ved tid  $t$ :  $p(t) = m(t) v(t)$

Ved tid  $t+dt$ :

$$p(t+dt) = m(t+dt) v(t+dt) + dm_e \cdot v_e(t+dt)$$

$$= [m(t) + dm] \cdot [v(t) + dv] - dm \cdot [v + v(t) + dv]$$

$$= m(t) v(t) + m(t) dv - v dm$$

$$\Rightarrow m dv - v dm = 0$$

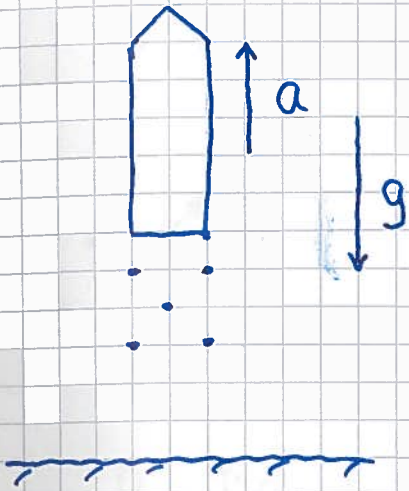
$$\Rightarrow m \frac{dv}{dt} = v \frac{dm}{dt}$$

dvs:  $ma = F_{\text{skyv}}$

med skyvkraft ("rekyl")  $F_{\text{skyv}} = v \dot{m} > 0$

Hvis oppskyting fra bakken, virker

$$F_{\text{ytre}} = -mg \quad (\text{en stund})$$



$$\Rightarrow ma = u\dot{m} - mg$$

Dvs:  $F = u\dot{m} - mg$  er total kraft på raketten;

må ha  $u\dot{m} > mg$  for å ta av

Øving:

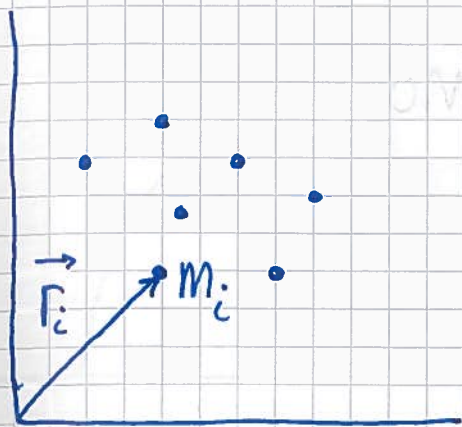
$$-mg + u \frac{dm}{dt} = m \frac{dv}{dt} \quad / \cdot \frac{dt}{m}$$

$$\Rightarrow -g dt + u \frac{dm}{m} = dv$$

som kan integreres!

Massesenter [YF 8.5 + oppg. 8.115, 8.116;  
LL 5.6, 5.8, 6.1]

(46)



Massesenter (CM) for  $N$

punktmasser  $m_1, m_2, \dots, m_N$

i posisjoner  $\vec{r}_1, \vec{r}_2, \dots, \vec{r}_N$  :

$$\vec{R}_{CM} = \frac{1}{M} \sum_i m_i \vec{r}_i$$

med  $M = \sum_i m_i =$  systemets totale masse

For kontinuerlig massefordeling :

$$\left. \begin{array}{l} m_i \rightarrow dm \\ \sum_i \rightarrow \int \end{array} \right\} \Rightarrow \begin{array}{l} M = \int dm \\ \vec{R}_{CM} = \frac{1}{M} \int \vec{r} dm \end{array}$$

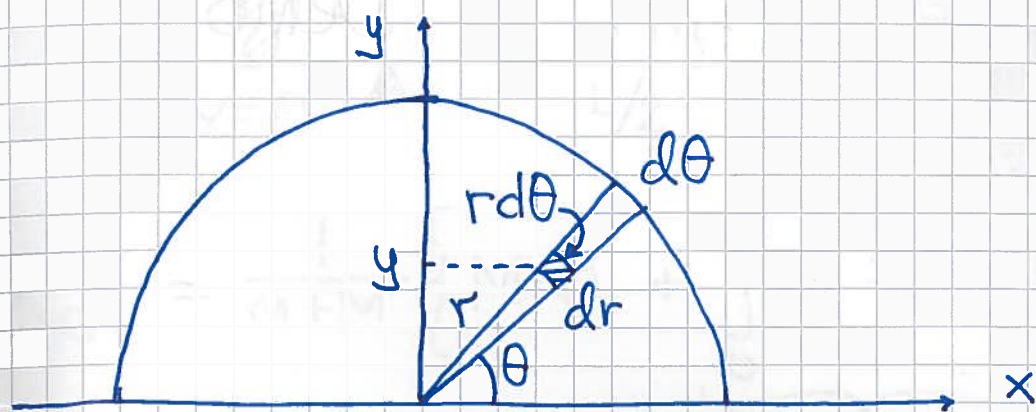
1D, 2D, 3D:  $\lambda, \sigma, \rho =$  masse pr hhv  
lengde-, flate-, volumenhet  
 $dl, dA, dV =$  hhv lengde-, flate-,  
volumelement

$\Rightarrow dm = \lambda dl, \sigma dA, \rho dV =$  masselement

Hvis uniform massefordeling:  $dm/M = dV/V$  osv

Eks 1:  $\vec{R}_{cm}$  for halvdelen av tynn skive med radius  $R$ .

(47)



$\Sigma_{cm} = 0$  pga symmetri  $\Rightarrow \vec{R}_{cm} = Y_{cm} \hat{y}$ , med

$$Y_{cm} = \frac{1}{M} \int y dm = \frac{1}{A} \int y dA, \text{ med } A = \frac{\pi R^2}{2},$$

$$dA = dr \cdot r d\theta \text{ og } y = r \sin \theta$$

$$\Rightarrow Y_{cm} = \frac{2}{\pi R^2} \int_0^R \int_0^\pi r \sin \theta \cdot dr \cdot r d\theta$$

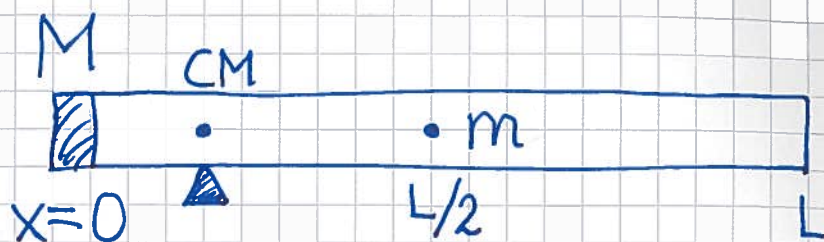
$$= \frac{2}{\pi R^2} \underbrace{\int_0^R r^2 dr}_{= R^3/3} \underbrace{\int_0^\pi \sin \theta d\theta}_{= \int_0^\pi (-\cos \theta) = 2} = \frac{4R}{3\pi} \approx 0.42R$$

Halvdelen av tynn ring:  $Y_{cm} = \frac{2R}{\pi}$

Halvdelen av kompakt kule:  $Y_{cm} = \frac{3R}{8}$

## Eks 2: Rør med lod i enden

(48)

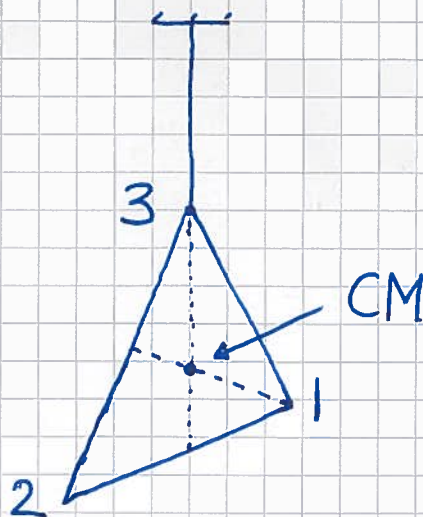
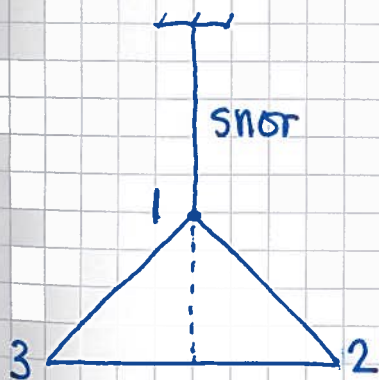


$$m = 165 \text{ g}$$

$$M = 305 \text{ g}$$

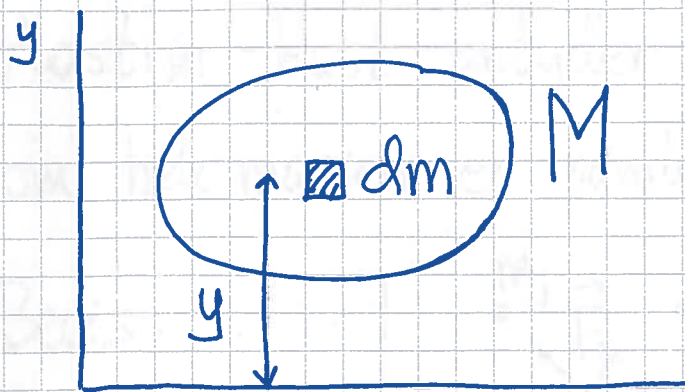
$$X_{\text{CM}} = \frac{1}{m+M} \left\{ M \cdot 0 + \underbrace{\int_0^L x \cdot \frac{m dx}{L}}_{= m \cdot L/2} \right\}$$
$$= \frac{mL}{2(m+M)} \approx \underline{0.18L}$$

## Eks 3: Eksperimentell lokalisering av CM



# Potensiell energi i tyngdefeltet

(49)



Velger  $U(0) = 0$

$$U = \int dU = \int g \cdot y \cdot dm$$

Anta  $g = \text{konstant}$  (dvs  $y_{\text{max}} - y_{\text{min}} \ll \text{jordradien}$ )

$$\Rightarrow U = g \cdot \int y dm = g \cdot M \cdot Y_{\text{CM}}$$

dvs som om hele  $M$  var samlet i høyden  $Y_{\text{CM}}$ , f.eks. i  $\vec{R}_{\text{CM}}$

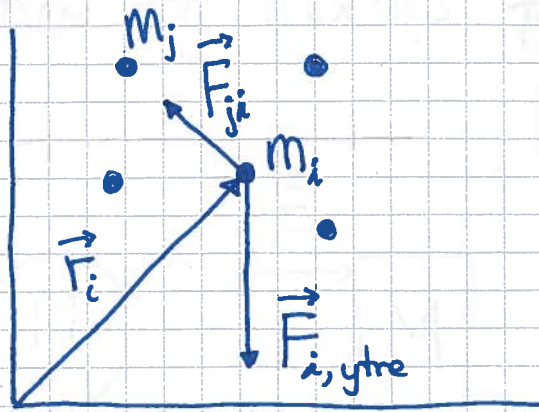
Tyngdepunkt: Der legemet balanserer.

Hvis  $g$  er konstant (for hele legemet), er tyngdepunkt og massesenter samme sted.

# Massesenterets bevegelse [YF 8.5; LL5.8] (50)

Plastrør-kast antyder at CM beveger seg som om hele massen er samlet i CM. Dette stemmer!

Bewis:



N2 for  $m_i$ :

$$m_i \ddot{\vec{r}}_i = \underbrace{\vec{F}_{i,ytre}}_{\text{Total ytre kraft p\aa } m_i} + \underbrace{\sum_{j \neq i} \vec{F}_{ji}}_{\text{Total indre kraft p\aa } m_i}$$

Tar  $\sum_i$  p\aa begge sider.

$$\text{VS: } \sum_i m_i \ddot{\vec{r}}_i = \frac{d^2}{dt^2} \left\{ \sum_i m_i \vec{r}_i \right\} = \frac{d^2}{dt^2} \left\{ M \vec{R}_{CM} \right\} = M \ddot{\vec{R}}_{CM}$$

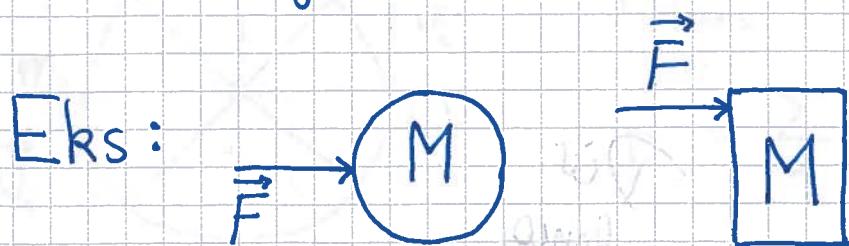
$$\text{HS: } \sum_i \vec{F}_{i,ytre} = \vec{F}_{ytre} = \text{netto ytre kraft p\aa systemet}$$

$$\sum_i \sum_{j \neq i} \vec{F}_{ji} = \underbrace{\vec{F}_{21} + \vec{F}_{12} + \dots}_{=0} + \underbrace{\vec{F}_{N,N-1} + \vec{F}_{N-1,N}}_{=0} = 0$$

$$\Rightarrow \boxed{\vec{F}_{\text{ytre}} = M \ddot{\vec{R}}_{\text{CM}}}$$

(51)

Dvs: Bevegelsen til CM blir som om hele  $M$  er samlet i  $\vec{R}_{\text{CM}}$  og utsettes for netto ytre kraft  $\vec{F}_{\text{ytre}}$ .



$$\Rightarrow \vec{A}_{\text{CM}} = \vec{F}/M ; \text{ den samme for de to legemene}$$

---

I tillegg til CMs bevegelse,

for stive legemer: rotasjon om CM

for ikke helt stive legemer: også vibrasjon

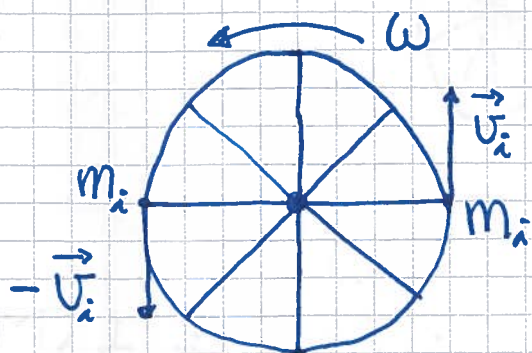


# Rotasjon [YF 9,10; LL 6 (5)]

(52)

Innledende kommentarer:

- Ren rotasjon (typisk om CM, men ikke nødv. vis)



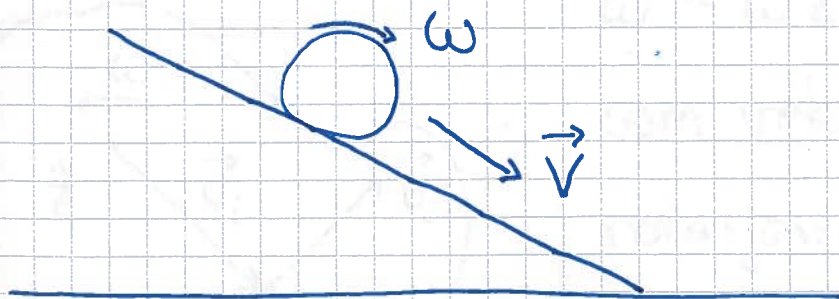
$$K_{\text{trans}} = \frac{1}{2} M \dot{R}_{\text{CM}}^2 = 0$$

$$\vec{p} = \sum_i m_i \vec{u}_i = 0$$

$$K_{\text{rot}} = \sum_i \frac{1}{2} m_i u_i^2 \neq 0$$

$$\vec{L} = \text{hjulets dreieimpuls} \neq 0$$

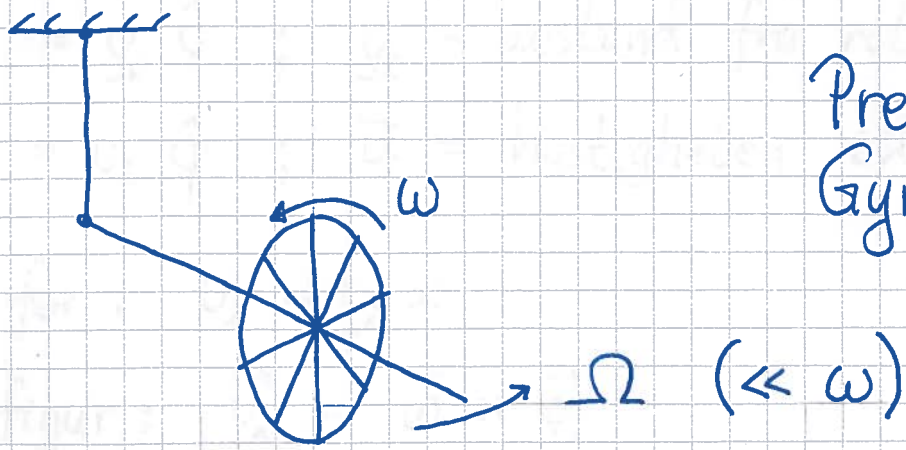
- Rulling = Translasjon av CM + Rotasjon om CM



$\dot{v} > 0$  pga ytre kraft (langs skr pplanet)

$\dot{\omega} > 0$  pga ytre dreiemoment (mhp CM)

- Overraskende (?) dynamikk

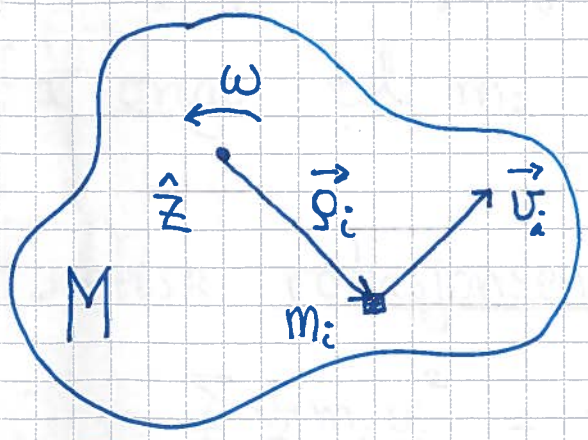


Presejjon.  
Gyroskop.

Rotasjonsenergi og treghetsmoment  
[YF 9.4 ; LL 6.4, 6.3]

Ser først på ren rotasjon av stivt legeme, om fast akse, ikke nødvis gjennom CM.

Med rotasjonsaksen langs  $\hat{z}$ , ut av planet:



“høyrehandsregel”

$\vec{\omega} = \omega \hat{z} =$  vinkelhast.  
som vektor, langs rotasjonsaksen ; 4 fingre på høyre hånd i rotasjonsretningen (her: mot klokka) gir tommelen langs  $\vec{\omega}$

Videre er:

$$\vec{\rho}_i = \rho_i \hat{\rho} ; \rho_i = \text{avstand fra rot.aksen til } m_i$$

$$\vec{v}_i = v_i \hat{\phi} ; \vec{v}_i = \text{hastigheten til } m_i$$

Fra før:  $v_i = \rho_i \omega$

Fra figur:  $\vec{v}_i = \vec{\omega} \times \vec{\rho}_i$

Høyrehåndsregel for kryssprodukt:

4 fingre langs  $\vec{a}$  bøyes over i retning langs  $\vec{b}$  ;  
da peker tommelen langs vektoren  $\vec{c} = \vec{a} \times \vec{b}$ .

Vi bruker her sylinderkoordinater  $\rho, \phi, z$  ;  
dvs polarkoordinater  $\rho, \phi$  samt  $z$ .

[Unngår å bruke  $\vec{r}_i$  for avstandsvektoren fra z-aksen til  $m_i$  fordi  $\vec{r}_i$  forbeholdes posisjonsvektoren fra origo til  $m_i$  ; derfor  $\vec{\rho}_i$  ! ]

Kinetisk rotasjonsenergi for det stive legemet:

$$K_{\text{rot}} = \sum_i \frac{1}{2} m_i v_i^2 = \frac{1}{2} \left\{ \sum_i m_i \rho_i^2 \right\} \omega^2 = \frac{1}{2} I \omega^2$$

Her er  $I$  legemets treghetsmoment, mhp

den aktuelle akse:

$$I \stackrel{\text{def}}{=} \sum_i m_i r_i^2$$

Hvis kontinuerlig massefordeling:  $m_i \rightarrow dm$ ,  $\sum_i \rightarrow \int$

$$\Rightarrow I = \int r^2 dm$$

$r$  = avstand fra akse til  $dm$

Generell bevegelse for et stivt legeme er translasjon av CM, med hastighet  $\vec{V}$ , samt rotasjon om en akse gjennom CM, med vinkelhastighet  $\vec{\omega}$ . Total kinetisk energi blir da

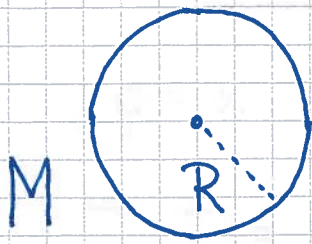
$$K = K_{\text{trans}} + K_{\text{rot}} = \frac{1}{2} M V^2 + \frac{1}{2} I_0 \omega^2$$

[Se utlagt notat for bevis.]

Notasjon:  $I_0$  betyr at akse går gjennom CM.

# Treghetsmoment; eksempler [YF 9.6; LL 6.3] (56)

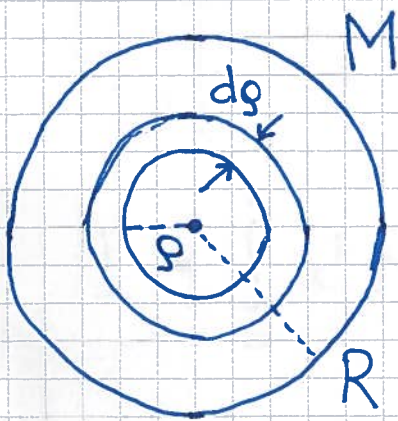
- Ring (og hul sylinder)



$$I_o = \int \rho^2 dm = R^2 \int dm = \underline{\underline{MR^2}}$$

[Må kunnes; oppgis ikke til eksamen.]

- Skive (og kompakt sylinder)

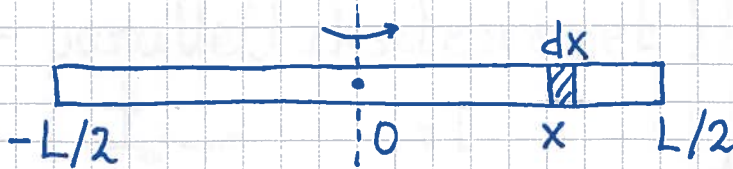


Bidrag fra tynn ring med radius  $\rho$ , tykkelse  $d\rho$ , areal  $dA = 2\pi\rho \cdot d\rho$  og masse  $dm = M \cdot dA / \pi R^2$ :  
 $dI_o = \rho^2 dm = 2M\rho^3 d\rho / R^2$

$$\Rightarrow I_o = \int dI_o = \frac{2M}{R^2} \int_0^R \rho^3 d\rho = \underline{\underline{\frac{1}{2}MR^2}}$$

(oppgis)

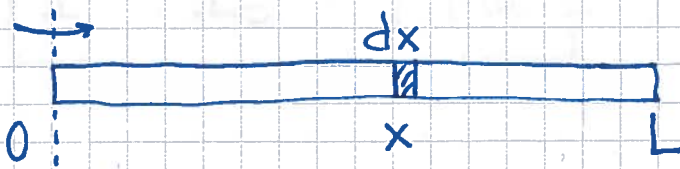
- Tynn stang (og tynn plate)



$$\rho = x, \quad dm = M \cdot dx / L$$

$$\Rightarrow I_0 = \int_{-L/2}^{L/2} x^2 \cdot M \cdot \frac{dx}{L} = \frac{M}{L} \left| \frac{x^3}{3} \right|_{-L/2}^{L/2} = \underline{\underline{\frac{1}{12} ML^2}} \quad (\text{oppgis})$$

Mhp akse ved stangas ende:



$$I = \int_0^L x^2 M dx / L = \underline{\underline{\frac{1}{3} ML^2}} \quad (\text{oppgis ikke})$$

- Kuleskall

$$I_0 = \frac{2}{3} MR^2$$

- Kompakt kule

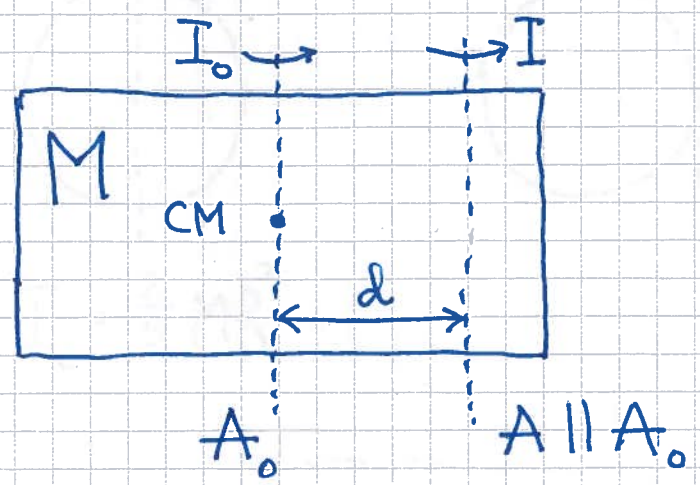
$$I_0 = \frac{2}{5} MR^2$$

Se øving og LF  
for detaljer.

Oppgis.

# Steiners sats [YF 9.5 ; LL 6.3]

(= parallellakse teoremet)

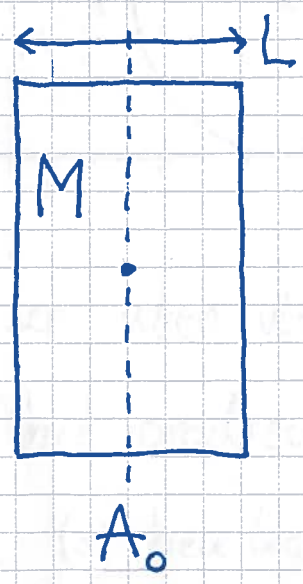


A: akse parallell med akse A<sub>0</sub>.

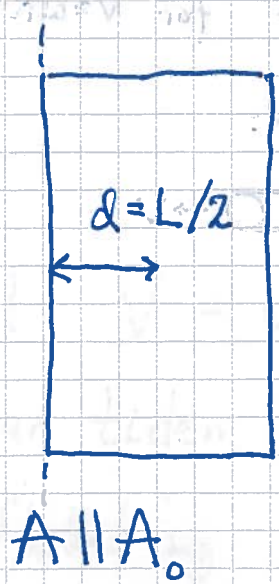
$$I = I_0 + Md^2$$

[Se notat for bevis]

Eks 1: Dør



$$I_0 = \frac{1}{12} ML^2$$

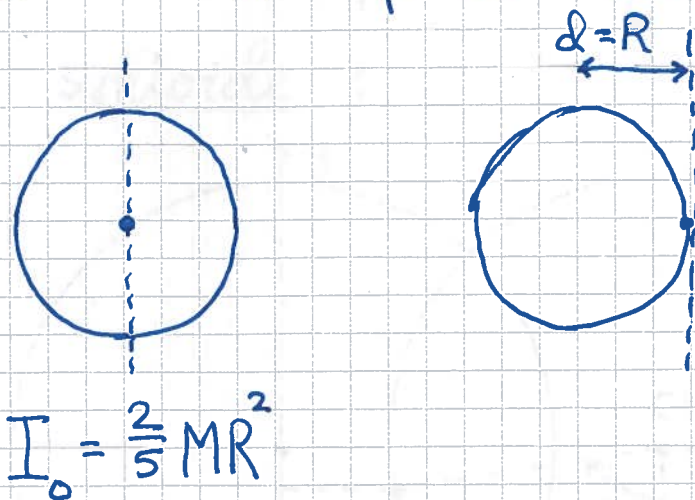


$$\begin{aligned} \Rightarrow I &= I_0 + M \cdot \left(\frac{L}{2}\right)^2 \\ &= \frac{1}{3} ML^2 \end{aligned}$$

(som s. 57)

## Eks 2: Kompakt kule

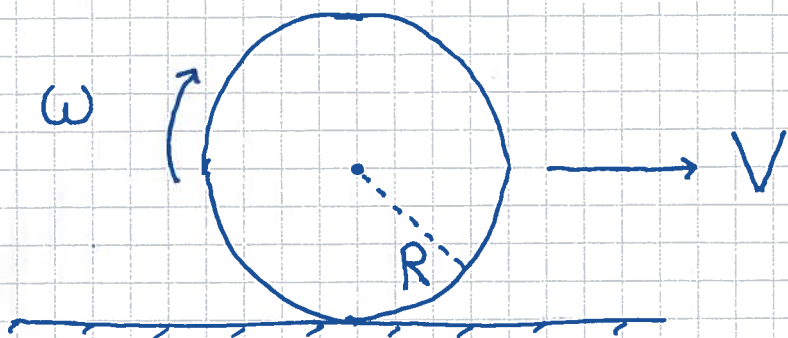
59



$$I_0 = \frac{2}{5} MR^2$$

$$I_{\#} = I_0 + MR^2 \\ = \frac{7}{5} MR^2$$

## Ren rulling [YF 10.3; LL 6.7]



Va ser uten videre at  $V = \omega R$ :

En hel omdreining tar tiden  $T = \frac{2\pi}{\omega}$ . Da har CM (og hele legemet) flyttet seg  $2\pi R$  mot høyre.

Det gir  $V = \frac{2\pi R}{T} = \omega R$ . Evt: Liten rotasjon

$d\theta = \omega dt$  flytter CM liten lengde  $dx = R d\theta = R \omega dt$ ,

som gir  $V = dx/dt = R\omega$ . Som er rullebetingelsen.